
คุณภาพน้ำทะเลบริเวณปากแม่น้ำบางปะกง พ.ศ. 2545
Water Qualities in the Bangpakong Estuary, Thailand in 2002

อนุกูล บูรณ์ประทีปรัตน์* และ เพชรใจ จิตต์เศรษฐี
ภาควิชาการวิชาศาสตร์ คณะวิทยาศาสตร์ มหาวิทยาลัยบูรพา
Anukul Buranapratheprat* and Pachoenchoke Jintasaeranee
Department of Aquatic Science, Faculty of Science, Burapha University

บทคัดย่อ

ได้ทำการศึกษาคุณภาพน้ำในพื้นที่บริเวณปากแม่น้ำบางปะกงในช่วงเดือนเมษายน มิถุนายน กันยายน และธันวาคม พ.ศ. 2545 พบร่วมกับค่าคุณภาพน้ำได้แก่ ความเค็ม อุณหภูมิ ความเป็นกรด-ด่าง ออกซิเจนละลายน้ำ แอมโมเนีย ไนโตรทีฟอสเฟตและซิลิกเกต มีการเปลี่ยนแปลงตามฤดูกาลอย่างมีนัยสำคัญทางสถิติ ($p < 0.01$) สำหรับของแข็งแขวนลอย ในเดือน และคลอรอฟิลล์-เอ มีการเปลี่ยนแปลงตามฤดูกาลที่ไม่มีนัยสำคัญ ($p > 0.05$) โดยอิทธิพลหลักของการเปลี่ยนแปลงปริมาณสารในพื้นที่มาจากปริมาณน้ำท่า การฟุ้งกระจายกลับสู่วนน้ำของตะกอนที่พื้นทะเล และปฏิสัมพันธ์ระหว่างน้ำทะเลและน้ำท่าจากแม่น้ำบางปะกงที่เปลี่ยนแปลงตามฤดูกาล คุณภาพน้ำส่วนใหญ่มีค่าอยู่ในระดับมาตรฐานคุณภาพน้ำและที่เคยตรวจพบมาก่อนหน้านี้ในงานวิจัยอื่น ยกเว้นในเดือนที่มีค่าเฉลี่ยเกินมาตรฐานคุณภาพน้ำทะเลเพื่อการเพาะเลี้ยงสัตว์น้ำ จากการศึกษาความสัมพันธ์ระหว่างคลอรอฟิลล์-เอ และคุณภาพน้ำพบความสัมพันธ์ในระดับที่ต่ำ แต่พบว่าคลอรอฟิลล์-เอ มีแนวโน้มไปในทางเดียวกับปริมาณฟอสเฟต (Correlation coefficient, $R = 0.19$; $p > 0.05$) และไปในทิศทางผกผันกับความเค็ม ($R = -0.24$; $p < 0.05$) และแอมโมเนีย ($R = -0.18$; $p > 0.05$) ส่วนปัจจัยอื่นๆ ไม่แสดงแนวโน้มของความสัมพันธ์ที่ชัดเจน

คำสำคัญ : คุณภาพน้ำ คลอรอฟิลล์-เอ แม่น้ำบางปะกง

Abstract

Water qualities in the Bangpakong estuary during April, June, September and December 2002 were investigated. Average values of salinity, temperature, pH, dissolved oxygen, ammonia, nitrite, phosphate and silicate were seasonally different while those of suspended solids, nitrate and chlorophyll-a were not significantly varied. River discharge, sediment resuspension and interaction between seawater and river discharges, affected by seasonal variation, play as key factors in changing of water qualities in the study area. All parameters, except nitrite, were within the standard levels for coastal aquaculture area, but all of them were in ranges of those reported in previous studies. Chlorophyll-a has a tendency of proportional relationship to phosphate (Correlation coefficient, $R = 0.19$; $p > 0.05$) but inverse relationship to salinity ($R = -0.24$; $p < 0.05$) and ammonia ($R = -0.18$; $p > 0.05$). The other factors did not show trends of relationship to chlorophyll-a.

Keywords : water qualities, chlorophyll-a, Bangpakong estuary

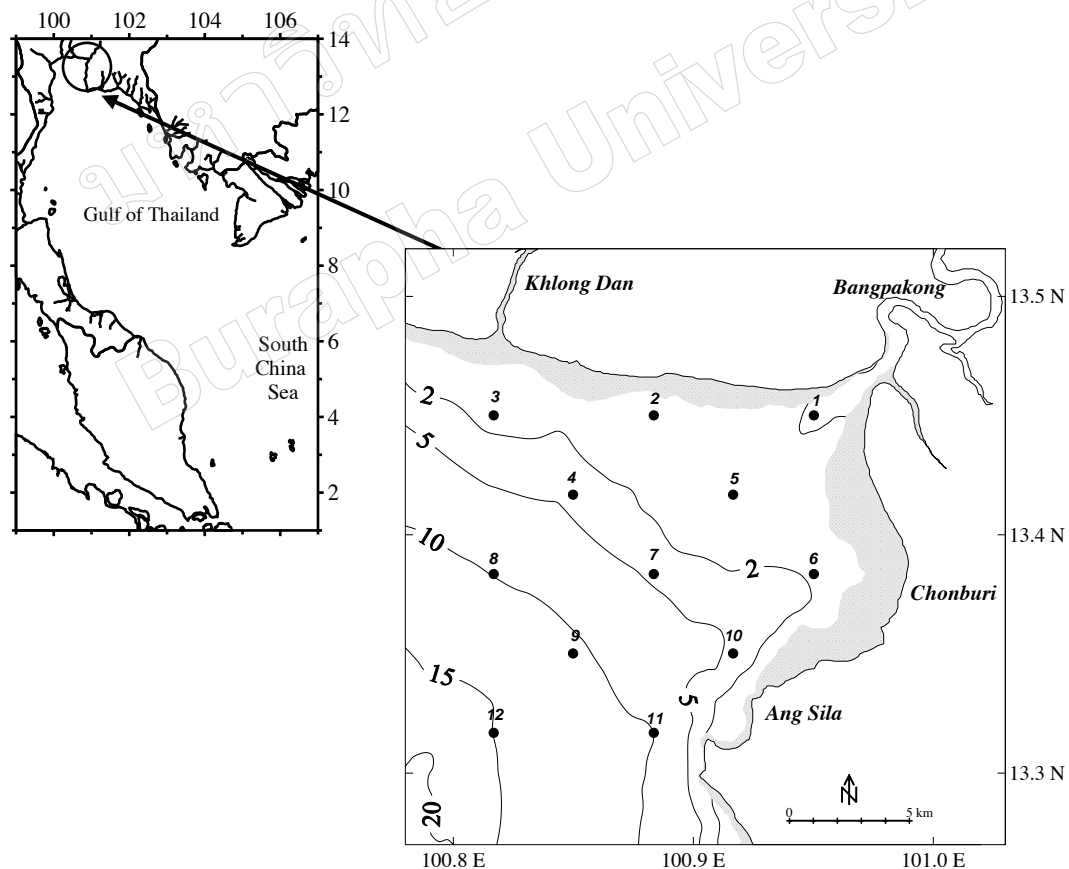
*Corresponding author. E-mail: anukul@buu.ac.th

บทนำ

บางปะกงเป็นหนึ่งในแม่น้ำสายหลักของประเทศไทย มีความยาวประมาณ 120 km ตั้งอยู่ทางทิศตะวันออกของอ่าวไทย ตอนบน (ภาพที่ 1) เกิดจากการไหลมาบรรจบกันของแม่น้ำปราจีนบุรี และแม่น้ำครนากาย มีพื้นที่ลุ่มน้ำทั้งสิ้น 8,641 km² ครอบคลุมพื้นที่ส่วนใหญ่ของจังหวัดฉะเชิงเทราและนครนายก (สำนักงานนโยบายและแผนทรัพยากรธรรมชาติและสิ่งแวดล้อม, 2549) สภาพภูมิอากาศในบริเวณนี้อยู่ภายใต้อิทธิพลของลมมรสุม ตะวันออกเฉียงเหนือที่พัดพาความหนาแน่นจากประเทศไทยจึงแผ่ปกคลุมพื้นที่ในช่วงเดือนพฤษภาคมถึงเดือนกุมภาพันธ์ และลมมรสุมตะวันตกเฉียงใต้ที่นำพาເອົາฝนจากตอนใต้ของประเทศไทยเข้ามาสู่พื้นที่ในช่วงเดือนพฤษภาคมถึงสิงหาคม ฝนตกมากในช่วงเปลี่ยนลมมรสุม ซึ่งเป็นเวลาที่ร่องความกดอากาศต่ำพัดผ่านประเทศไทย ช่วงแรกในราวเดือนมีนาคมและเมษายน และช่วงหลังในเดือนกันยายนและตุลาคม (กรมอุตุนิยมวิทยา, 2554) ปริมาณน้ำท่ามกลางการเปลี่ยนแปลงตามปริมาณฝนที่ตกในพื้นที่ลุ่มน้ำซึ่ง

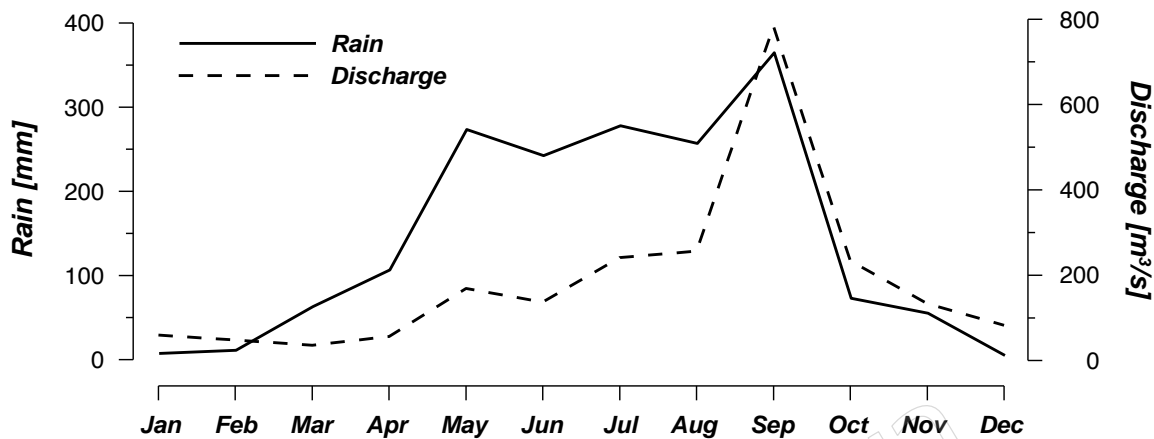
แตกต่างกันตามฤดูกาล โดยปริมาณน้ำท่าเฉลี่ยสูงสุดอยู่ในช่วงเดือนกันยายน และต่ำสุดอยู่ในช่วงเดือนกุมภาพันธ์และมีนาคม (ภาพที่ 2) การเปลี่ยนแปลงของปริมาณน้ำท่าและสิ่งที่ถูกชะพามา กับน้ำ ย่อมส่งผลต่อการเปลี่ยนแปลงตามฤดูกาลของสภาพแวดล้อมชายฝั่งทะเลบริเวณปากแม่น้ำ

จากสภาพภูมิประเทศบริเวณปากแม่น้ำที่เป็นรอยต่อของแผ่นดินและทะเล จึงเป็นปลายทางของรับของผลจากการรุนแรงต่างๆ ที่เกิดขึ้นบนแผ่นดิน ขณะเดียวกันก็เป็นต้นทางของการเปลี่ยนแปลงที่เกิดขึ้นในทะเล ด้วยความสำคัญดังกล่าว ทำให้มีการศึกษาเรื่องสภาพปากแม่น้ำกันอย่างกว้างขวาง (เช่น Saiz-Salinas, 1997; Peng et al., 2002; Irabian et al., 2008) ในกรณีของแม่น้ำบางปะกงนั้น การดำเนินชีวิตของประชาชนและกิจกรรมตลอดลำน้ำ เช่น การอุปโภคบริโภคในชีวิตประจำวัน กิจกรรมทางการเกษตร เช่น การปลูกข้าว การเลี้ยงสัตว์ การประมงและการเพาะเลี้ยงสัตว์น้ำ ไปจนถึงการทำอุตสาหกรรม ล้วนส่งผลกระทบต่อลักษณะคุณภาพน้ำในแม่น้ำทั้งสิ้น เพราะท้ายที่สุดของเสียจากกิจกรรมเหล่านี้ต้อง



ภาพที่ 1 พื้นที่ศึกษาบริเวณปากแม่น้ำบางปะกง จุดแสดงสถานีตรวจอัตราดัชนีคุณภาพน้ำ เส้นคอนทัวร์แสดงความลึกในหน่วยเมตร

Monthly averaged rain in the Bangpakong basin and discharge of the Bangpakong River in 2002



ภาพที่ 2 ปริมาณฝนเฉลี่ยรายเดือนบริเวณลุ่มน้ำบางปะกงและน้ำท่าเฉลี่ยรายเดือนของแม่น้ำบางปะกงในปี 2545 (ข้อมูลจากการชลประทาน)

ถูกระบายน้ำสู่แหล่งน้ำ ก่อให้เกิดปัญหาความเสื่อมโทรมของคุณภาพน้ำในแม่น้ำบางปะกง นอกจากนี้การสร้างเขื่อนทดน้ำเพื่อป้องกันการรุกรุนของน้ำเค็มในแม่น้ำบางปะกง ก็มีแนวโน้มที่จะก่อให้เกิดผลกระทบต่อสิ่งแวดล้อมในวงกว้าง นับเป็นปัจจัยหนึ่งที่สำคัญที่ทำให้หน่วยงานภาครัฐต้องเร่งทำการศึกษา ประเมินสภาพและผลกระทบต่อสิ่งแวดล้อมที่เกิดขึ้นในลุ่มน้ำบางปะกงอย่างจริงจัง หน่วยงานที่ได้ดำเนินการศึกษาเรื่องสิ่งแวดล้อม เช่น กรมทรัพยากรทางทะเลและชายฝั่ง (2548) และสำนักงานนโยบายและแผนทรัพยากรธรรมชาติและสิ่งแวดล้อม (2549) เป็นต้น

แม้ว่ารายงานสถานการณ์คุณภาพน้ำบริเวณปากแม่น้ำบางปะกงโดยกรมควบคุมมลพิษ (Simachaya, 2003) พบว่า ในรอบ 10 ปี (2536-2545) แม่น้ำบางปะกงมีระดับความเสื่อมโทรมน้อยกว่าแม่น้ำเจ้าพระยาและแม่น้ำเจ้าジน แต่จากปัญหาปรากฏการณ์น้ำเปลี่ยนสีที่เกิดขึ้นบ่อยครั้งใน时节บริเวณด้านตะวันออกของอ่าวไทยตอนบน ทำให้มีการศึกษาด้านคุณภาพน้ำบริเวณปากแม่น้ำบางปะกงและชายฝั่งจังหวัดชลบุรีอย่างต่อเนื่อง (เช่น พิชาณ สว่างวงศ์และคณะ, 2541; สถาบันวิทยาศาสตร์ทางทะเล, 2549; Lirdwitayapeasit et al., 2006; Gunboa et al., 2009) คงจะมีความสนใจเกี่ยวกับกลไกการเกิดปรากฏการณ์น้ำเปลี่ยนสีในบริเวณปากแม่น้ำบางปะกงและบริเวณภาคตะวันออกของอ่าวไทยตอนบน เช่นเดียวกัน จึงได้ทำการสำรวจคุณภาพน้ำในพื้นที่นี้เมื่อปี พ.ศ. 2545 ความแตกต่างจากการวิจัยอื่นอยู่ที่การกำหนดจุดสำรวจที่ครอบคลุมบริเวณเขตที่ป่าไม้ เพื่อให้สามารถแสดงผลการเปลี่ยนแปลงในเชิงพื้นที่

ของค่าคุณภาพน้ำต่างๆ ที่ตรวจดู บทความวิจัยนี้จะรายงานผลการสำรวจที่ได้ เพื่อใช้อ้างอิงถึงสภาพของคุณภาพน้ำในช่วงเวลาดังกล่าวและใช้เป็นข้อมูลพื้นฐานสำหรับการวิเคราะห์ข้อมูลต่อไปในอนาคต

วัสดุอุปกรณ์ และวิธีการวิจัย

พื้นที่ศึกษาครอบคลุม时节บริเวณปากแม่น้ำบางปะกง โดยกำหนดจุดเก็บข้อมูลทางกายภาพ เคมี และเก็บตัวอย่างน้ำเพื่อการวิเคราะห์ทางเคมีในห้องปฏิบัติการจำนวน 12 จุด (ภาพที่ 1) โดยพิกัดทางภูมิศาสตร์ของจุดเก็บตัวอย่างแสดงในตารางที่ 1 เก็บตัวอย่าง 4 ครั้งในรอบปี พ.ศ. 2545 คือในช่วงเปลี่ยนฤดูร้อน จากตะวันออกเฉียงเหนือเป็นตะวันตกเฉียงใต้ (5-7 เมษายน) ช่วงลมมรสุมตะวันตกเฉียงใต้ (15-16 มิถุนายน) ช่วงเปลี่ยนฤดูร้อน จากตะวันตกเฉียงใต้เป็นตะวันออกเฉียงเหนือ (13-14 กันยายน) และช่วงลมมรสุมตะวันออกเฉียงเหนือ (13-14 ธันวาคม)

ตรวจวัดพารามิเตอร์คุณภาพน้ำทางกายภาพและเคมี ภาคสนามที่ระดับความลึกทุก 0.5 m ได้แก่ อุณหภูมิและความเค็ม ด้วยเครื่อง CTD/STD (Sensor Data model SD204) ปริมาณออกซิเจนละลายน้ำและความเป็นกรด-ด่าง ด้วยเครื่องวัดคุณภาพน้ำแบบหลายตัวแปร (Environmental Monitoring Systems: YSI 6600) สำหรับตัวอย่างน้ำเพื่อวิเคราะห์คุณภาพน้ำทางเคมีในห้องปฏิบัติการ เก็บตัวอย่างที่ 2 ระดับความลึก โดยเก็บที่ระดับ 0.5 m จากผิวน้ำ และ 0.5 m เหนือผิวน้ำ แยกเว้นสถานที่ที่เก็บตัวอย่างน้ำที่ระดับ 0.5 m จากผิวน้ำเพียงระดับเดียว

ตารางที่ 1 พิกัดภูมิศาสตร์ของสถานีตรวจคุณภาพน้ำ

Station	Latitude	Longitude
1	13° 27' N	100° 57' E
2	13° 27' N	100° 53' E
3	13° 27' N	100° 49' E
4	13° 25' N	100° 51' E
5	13° 25' N	100° 55' E
6	13° 23' N	100° 57' E
7	13° 23' N	100° 53' E
8	13° 23' N	100° 49' E
9	13° 21' N	100° 51' E
10	13° 21' N	100° 55' E
11	13° 19' N	100° 53' E
12	13° 19' N	100° 49' E

เนื่องจากมีความลึกเพียง 1-1.5 m น้ำตื้ออย่างที่กรองผ่านแผ่นกรอง GF/C จะใช้ในการวิเคราะห์สารอาหารอนินทรีย์ที่ละลายน้ำ ได้แก่ แอมโมเนีย ไนโตรท ไนเตรฟ ซิลิกेट และฟอสฟेट ส่วนสิ่งตกค้างบนแผ่นกรองนำมาวิเคราะห์ปริมาณสารแขวนลอยในน้ำ สำหรับคลอรอฟิลล์-เอวิเคราะห์จากสิ่งตกค้างจากการกรองตัวอย่างน้ำทะเลบนแผ่นกรอง GF/F โดยวิธีการวิเคราะห์และเอกสาร

อ้างอิงทั้งหมดได้สรุปไว้ในตารางที่ 2 วิเคราะห์ข้อมูลทางสถิติตัวอย่างฟ์เวอร์ Microsoft Excel และ SPSS และวัดภาพเส้นคอนทัวร์ (contour) ด้วยซอฟ์แวร์ Ocean Data View (Schlitzer, 2007) เพื่อนำเสนอในผลการศึกษา

ผลการศึกษา

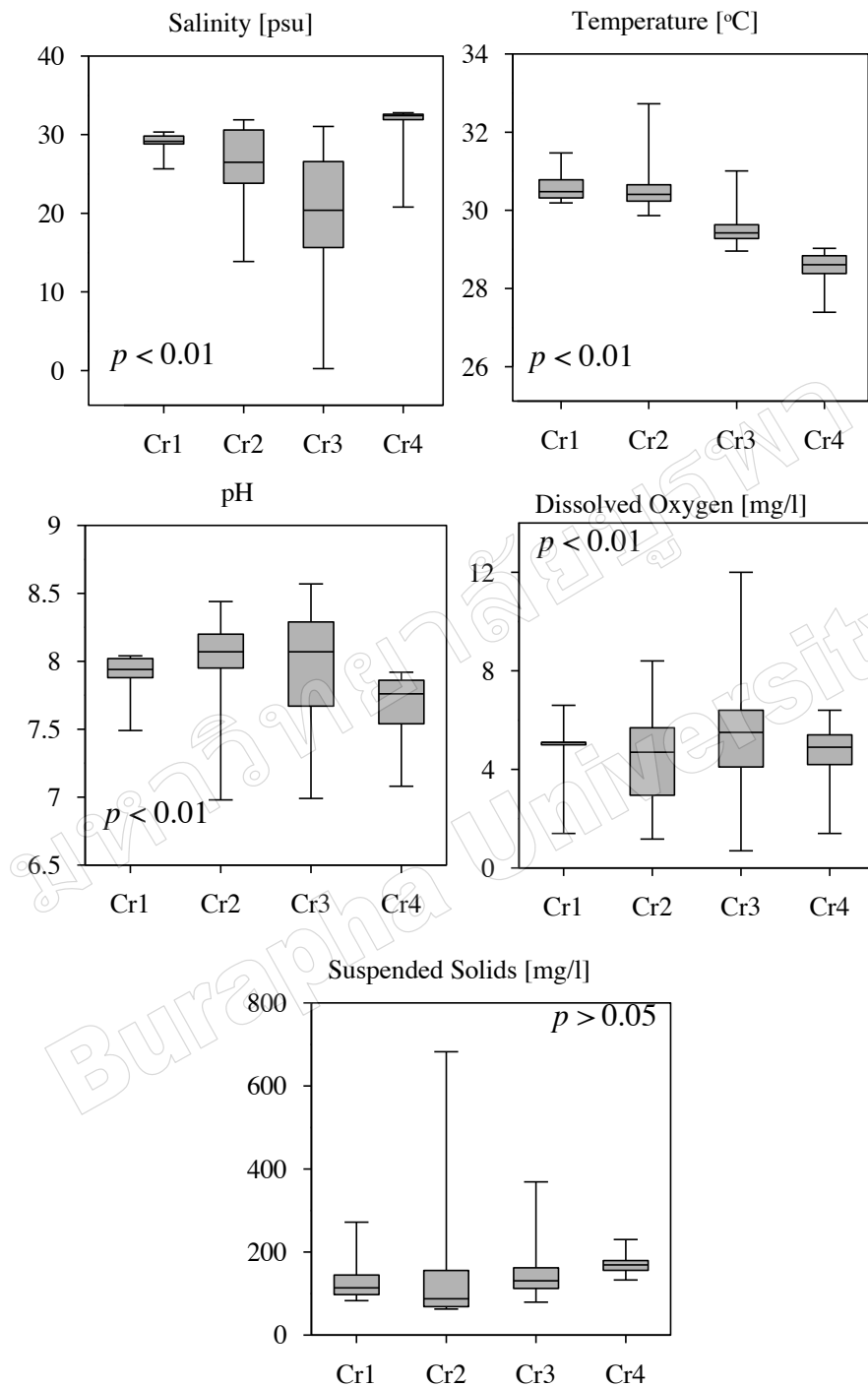
ค่าเฉลี่ยและค่าเบี่ยงเบนมาตรฐานของข้อมูลแยกเป็นรายๆ ตุกการและความลึกของทุกพารามิเตอร์ในรายงานวิจัยนี้สรุปไว้ในตารางที่ 3 สำหรับการเปลี่ยนแปลงของค่าเฉลี่ยข้อมูลในแต่ละช่วงเวลาแสดงในรูปของ Box and Whisker Plots (ภาพที่ 3 และ 4) ค่าเฉลี่ยคุณภาพน้ำทางกายภาพยกเว้นของแข็งแขวนลอยได้แก่ อุณหภูมิ ความเค็ม ความเป็นกรด-ด่าง และออกซิเจนละลายน้ำ มีความแตกต่างกันตามคุณภาพ ($p < 0.01$) การเปลี่ยนแปลงความเค็ม สอดคล้องกับปริมาณน้ำท่า โดยความเค็มสูงและมีการเปลี่ยนแปลงของค่าในช่วงแรกจะตรงกับช่วงที่น้ำท่าจากแม่น้ำบางปะกงมีปริมาณน้อย ได้แก่ในช่วงเดือนเมษายนและธันวาคม ส่วนค่าความเค็มต่ำและมีการเปลี่ยนแปลงของค่าในช่วงกว้างจะอยู่ในช่วงน้ำท่ามีปริมาณมาก ได้แก่ในช่วงเดือนมิถุนายนและกันยายน อุณหภูมิของน้ำทะเลเปลี่ยนแปลงตามคุณภาพในประเทศไทย อุณหภูมิจะสูงในฤดูร้อนซึ่งตรงกับเดือนเมษายนและลดต่ำลง เป็นลำดับเมื่อเข้าสู่ฤดูหนาว ความเป็นกรดด่างและออกซิเจน ละลายน้ำมีแนวโน้มของการเปลี่ยนแปลงตามช่วงเวลาสอดคล้อง กับการเปลี่ยนแปลงปริมาณน้ำท่า เช่นเดียวกัน โดยพบว่าค่าที่ต่ำ

ตารางที่ 2 พารามิเตอร์คุณภาพน้ำที่ทำการศึกษาและวิธีวิเคราะห์

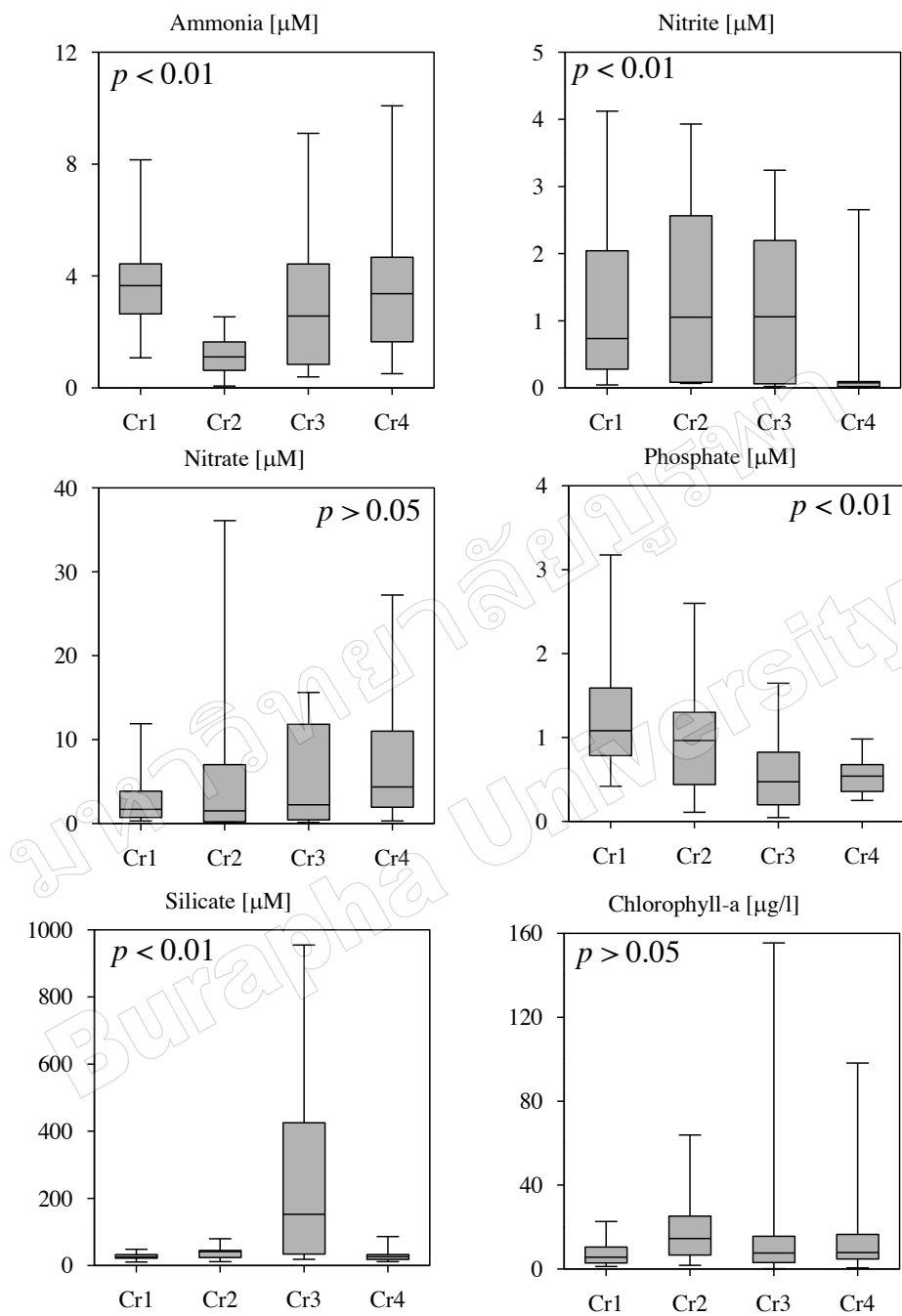
Parameters	Methods
Temperature	CTD (Sensor Data SD 204)
Salinity	CTD (Sensor Data SD 204)
pH	Multi parameter (YSI Model 6600)
Dissolved Oxygen	Multi parameter (YSI Model 6600)
Suspended Solids	GF/C Filter (APHA,1992)
Ammonia	Phenol-hypochloride (Grasshoff et al., 1999)
Nitrite	Diazotization (Strickland and Parsons, 1972)
Nitrate	Cadmium reduction + Diazotization (Strickland and Parsons, 1972)
Phosphate	Ascorbic acid (Strickland and Parsons,1972)
Silicate	Silicomolybdate (Strickland and Parsons,1972)
Chl-a	Spectrophotometer method (Strickland and Parsons, 1972)

ตารางที่ 3 ค่าอุณหภูมิและค่าเบี่ยงเบนมาตรฐานของคุณภาพน้ำเพิ่มพูนและไส้กรองแต่ละเที่ยวเรือสำราญ

Parameters	Cr1 (5-7 Apr 2002)		Cr2 (15-16 Jun 2002)		Cr3 (13-14 Sep 2002)		Cr4 (13-14 Dec 2002)	
	Surface	Bottom	Surface	Bottom	Surface	Bottom	Surface	Bottom
Salinity [psu]	28.44 ± 1.42	28.84 ± 1.30	21.60 ± 4.00	25.19 ± 5.79	10.80 ± 6.23	19.17 ± 10.01	30.53 ± 3.39	31.00 ± 0.90
Temperature [°C]	30.90 ± 0.44	30.69 ± 0.41	31.15 ± 0.93	30.87 ± 0.85	30.04 ± 0.58	29.43 ± 0.16	28.29 ± 0.56	28.53 ± 0.36
pH	7.90 ± 0.10	7.80 ± 0.16	8.06 ± 0.42	7.76 ± 0.40	8.15 ± 0.51	7.56 ± 0.29	7.65 ± 0.21	7.50 ± 0.27
Dissolved oxygen [mg/l]	5.24 ± 0.44	4.52 ± 1.05	6.00 ± 1.61	3.33 ± 1.16	7.26 ± 2.35	3.28 ± 1.38	5.47 ± 0.55	3.66 ± 1.22
Suspended solids [mg/l]	130.08 ± 45.42	138.57 ± 56.48	129.64 ± 93.02	159.13 ± 183.06	142.55 ± 77.87	150.12 ± 41.48	159.81 ± 17.10	177.23 ± 19.35
Ammonia [µM]	3.52 ± 1.34	3.72 ± 1.92	0.83 ± 0.46	1.54 ± 0.67	2.57 ± 2.54	3.89 ± 3.11	2.40 ± 1.98	4.42 ± 3.00
Nitrite [µM]	1.33 ± 1.34	1.40 ± 1.45	0.92 ± 1.31	1.58 ± 1.39	0.90 ± 1.30	1.44 ± 1.16	0.28 ± 0.75	0.07 ± 0.05
Nitrate [µM]	3.05 ± 3.55	2.81 ± 3.43	5.67 ± 10.46	5.95 ± 10.01	5.36 ± 6.41	5.27 ± 5.74	7.70 ± 8.80	7.50 ± 5.87
Phosphate [µM]	1.31 ± 0.77	1.42 ± 0.75	1.05 ± 0.76	1.03 ± 0.74	0.51 ± 0.36	0.63 ± 0.48	0.52 ± 0.25	0.58 ± 0.17
Silicate [µM]	27.01 ± 8.82	28.55 ± 9.58	41.52 ± 20.80	44.77 ± 23.26	37.72 ± 16.34	469.36 ± 204.98	31.35 ± 20.20	26.88 ± 13.14
Chlorophyll-a [µg/l]	6.15 ± 6.00	8.66 ± 6.03	19.43 ± 19.62	17.96 ± 11.81	25.00 ± 44.24	14.42 ± 16.43	23.47 ± 31.72	11.62 ± 16.10



ภาพที่ 3 Box and Whisker Plots ของข้อมูลอุณหภูมิ ความเค็ม ความเป็นกรด-ด่าง ออกซิเจนละลายน้ำ และตะกอนแขวนลอย ในช่วงของการเก็บตัวอย่างในช่วงเดือนเมษายน (Cr1) มิถุนายน (Cr2) กันยายน (Cr3) และ ธันวาคม 2545 (Cr4)



ภาพที่ 4 Box and Whisker Plots ของข้อมูลเคมีนิยม ในไทรท์ ในเตรท์ ฟอสเฟต ซิลิกेट และคลอโรฟิลล์-เอ ในช่วงของการเก็บตัวอย่างในช่วงเดือนเมษายน (Cr1) มิถุนายน (Cr2) กันยายน (Cr3) และธันวาคม 2545 (Cr4)

และมีช่วงของค่าที่แคบประภูมิอยู่ในช่วงน้ำท่า�้อย ส่วนค่าที่สูงและมีช่วงของค่าที่กว้างจะตรงกับช่วงน้ำท่ามาก ของแข็งแหวนโลยมีค่าไม่แตกต่างกันตามช่วงเวลาแต่พบว่าในช่วงเดือนมิถุนายนมีช่วงของค่าที่สูงมาก รายละเอียดเพิ่มเติมในส่วนนี้จะกล่าวถึงในการรายงานผลการกระจายในเชิงพื้นที่ต่อไป

ค่าเฉลี่ยคุณภาพน้ำได้แก่ แอมโมเนีย ในไตรท์ พอสเฟต และซิลิกะ มีการเปลี่ยนแปลงตามฤดูกาล ($p < 0.01$) ในขณะที่ในไตรทและคลอโรฟิลล์-เอ ไม่เปลี่ยนแปลงอย่างมีนัยสำคัญ ($p > 0.05$) (ภาพที่ 4) แนวโน้มการเปลี่ยนแปลงของแอมโมเนีย ในไตรท ในไตรท และคลอโรฟิลล์-เอ ไม่สัมพันธ์กับปริมาณน้ำท่า พอสเฟตแสดงแนวโน้มว่ามีค่าสูงในช่วงน้ำท่าอย่างต่อเนื่อง กลับกันกับซิลิกะที่มีแนวโน้มของค่าสูงและมีช่วงของค่าที่กว้าง ในช่วงเดือนกันยายนซึ่งเป็นช่วงที่น้ำท่าจากแม่น้ำบางปะกงมีปริมาณมากที่สุดในรอบปี (ภาพที่ 2) สำหรับคลอโรฟิลล์-เอ ถึงแม้จะมีค่าไม่แตกต่างกันตามฤดูกาล แต่ก็พบช่วงของค่าที่กว้างมาก ในช่วงเดือนกันยายนที่น้ำท่ามีปริมาณสูงสุด เช่นเดียวกัน

การแพร่กระจายในแนวราบของค่าความเค็ม อุณหภูมิ อากาศเจนละลายน้ำ และของแข็งแหวนโลยในช่วงของการเก็บตัวอย่างแสดงในภาพที่ 5 การแพร่กระจายของความเค็มในแต่ละช่วงเวลาแสดงให้เห็นถึงปฏิสัมพันธ์ระหว่างน้ำท่าทะเลและน้ำท่าจากแม่น้ำที่มีการเปลี่ยนแปลงตามฤดูกาล ความแตกต่างเชิงพื้นที่มีค่ามากที่สุดในเดือนกันยายนและต่ำสุดในเดือนเมษายน ตามปริมาณน้ำท่าที่มีมากและน้อยในช่วงระยะเวลาหนึ่น ตามลำดับ อุณหภูมิมีความแตกต่างเชิงพื้นที่ต่ำในทุกฤดูกาล เนื่องจากเป็นพื้นที่ในเขตร้อนและมีขนาดเล็ก อย่างไรก็ตี มีแนวโน้มของอุณหภูมิสูงจากปากแม่น้ำออกสู่ทะเลในเกือบทุกฤดูกาลยกเว้นในช่วงเดือนธันวาคม ซึ่งตรงกับฤดูหนาวของประเทศไทย ออกซิเจนละลายน้ำมีแนวโน้มของการเปลี่ยนแปลงเชิงพื้นที่คล้ายกับการเปลี่ยนแปลงความเค็ม คือมีการเปลี่ยนแปลงเชิงพื้นที่ตามการเปลี่ยนแปลงของปริมาณน้ำท่า ของแข็งแหวนโลยในเดือนเมษายน กันยายน และธันวาคม ไม่แสดงแนวโน้มการเปลี่ยนแปลงเชิงพื้นที่ที่ชัดเจน มีเพียงในเดือนมิถุนายนที่แสดงแนวโน้มของน้ำท่ามากที่บริเวณปากแม่น้ำและลดลงเป็นลำดับเมื่อออกสู่ทะเล

การเปลี่ยนแปลงเชิงพื้นที่ของแอมโมเนีย ในไตรท และในไตรท แสดงในภาพที่ 6 แอมโมเนียมีแสดงแนวโน้มการเปลี่ยนแปลงเชิงพื้นที่ที่ชัดเจน เพียงแต่พบว่ามีความแตกต่างเชิงพื้นที่สูงในเกือบทุกฤดูกาล ยกเว้นในเดือนมิถุนายน สำหรับในไตรท และในไตรท มีแนวโน้มของการเปลี่ยนแปลงเชิงพื้นที่จากการเข้มข้นสูงที่บริเวณปากแม่น้ำและความเข้มข้นต่ำเมื่อออกสู่ทะเล

ในการนี้ของในไตรทยังพบว่ามีบริเวณที่มีความเข้มข้นสูงที่สถานีทางด้านใต้ของพื้นที่ศึกษาใกล้กับบริเวณแหล่ง排ท่านและอ่างศิลาในเดือนเมษายนและธันวาคม

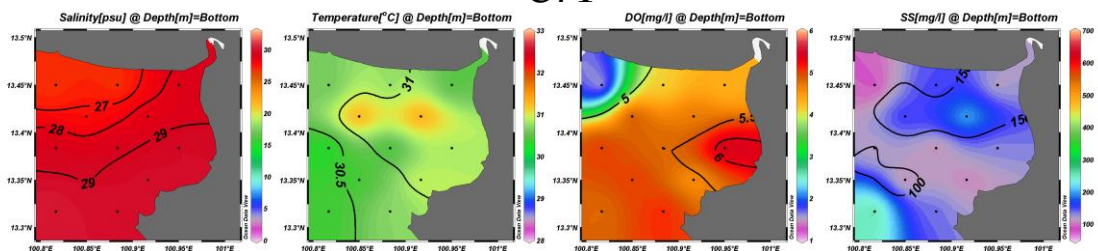
การแพร่กระจายของพอสเฟต (ภาพที่ 7) แสดงแนวโน้มของความเข้มข้นสูงในบริเวณใกล้กับปากแม่น้ำในทุกช่วงเวลา สำหรับซิลิกะแสดงแนวโน้มเช่นเดียวกันนี้เฉพาะในช่วงเดือนเมษายนและธันวาคม สำหรับในเดือนมิถุนายนและเดือนกันยายนนั้น บริเวณที่ซิลิกะมีความเข้มข้นสูงอยู่ในบริเวณทิศตะวันตกของชัยฝั่งทางด้านเหนือและในอ่าวชลบุรีซึ่งอยู่ทางด้านตะวันออกของพื้นที่ศึกษา ตามลำดับ คลอโรฟิลล์-เอ มีแนวโน้มของค่าสูงในบริเวณใกล้กับปากแม่น้ำในเกือบทุกช่วงเวลาของการตรวจวัดยกเว้นในเดือนกันยายนที่ความเข้มข้นสูงประภูมิอยู่ในตอนกลางของพื้นที่ ทodor ด้านในแนวตะวันตกเฉียงเหนือ-ตะวันออกเฉียงใต้ ตรงกับแนวรอยต่อระหว่างน้ำจืดและน้ำเค็มในช่วงเวลาหนึ่ง ซึ่งสังเกตจากความถี่ของเส้นคอนทัวร์ในแนวจากปากแม่น้ำออกสู่ทะเล (ภาพที่ 5)

ได้ทำการวัดภาพสหสัมพันธ์ (correlation) ระหว่างคลอโรฟิลล์-เอ และคุณภาพน้ำต่างๆ จากการตรวจวัดในครั้งนี้ (ภาพที่ 8) การกระจายของข้อมูลส่วนใหญ่แสดงให้เห็นว่าคลอโรฟิลล์-เอ มีความสัมพันธ์กับคุณภาพน้ำทางกายภาพและสารอาหารอนินทรีย์ละลายน้ำในระดับที่ต่ำมาก อย่างไรก็ตี หากพิจารณาจากแนวโน้มของการกระจายข้อมูล พบว่าคลอโรฟิลล์-เอ มีแนวโน้มไปในทางเดียวกับปริมาณพอสเฟต (Correlation coefficient, $R = 0.19; p > 0.05$) และไปในทิศทางผกผันกับความเค็ม ($R = -0.24; p < 0.05$) และแอมโมเนียม ($R = -0.18; p > 0.05$) ส่วนปัจจัยอื่นๆ ไม่แสดงแนวโน้มของความสัมพันธ์ที่ชัดเจน

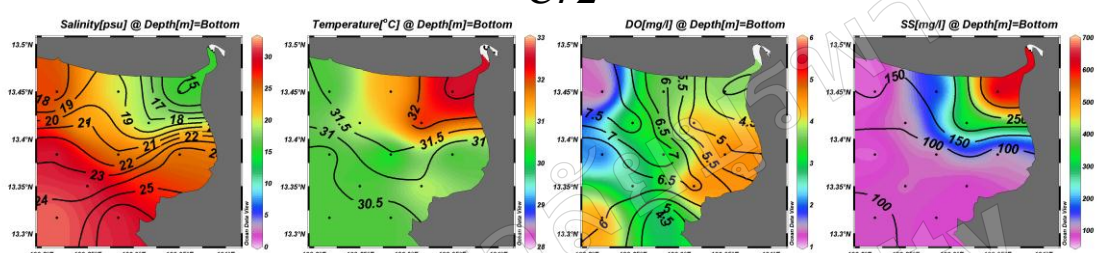
อภิปรายผลการวิจัย

เมื่อเปรียบเทียบค่าคุณภาพน้ำที่ได้จากการศึกษาในครั้งนี้ กับค่ามาตรฐานคุณภาพน้ำทะเลเพื่อการเพาะเลี้ยงสัตว์น้ำตามประกาศคณะกรรมการสิ่งแวดล้อมแห่งชาติ (2550) ใน 3 พารามิเตอร์ที่มีการกำหนดค่ามาตรฐานไว้ คือ อากาศเจนละลายน้ำ (4 mg/L) ในไตรท ($4.28 \mu\text{M}$) และ พอสเฟต ($1.45 \mu\text{M}$) พบว่า มีเพียงค่าเฉลี่ยรวมของในไตรทที่สูงกว่ามาตรฐาน ($5.47 \mu\text{M}$) อย่างไรก็ตี เมื่อพิจารณาการเปลี่ยนแปลงของค่าในไตรทเชิงพื้นที่ (ภาพที่ 6) พบว่าค่าที่สูงเกินมาตรฐานส่วนใหญ่จะพบได้ในบริเวณใกล้กับปากแม่น้ำบางปะกง เช่นเดียวกับค่าพอสเฟตที่ถึงแม้ว่าค่าเฉลี่ยรวมจะไม่เกินเกณฑ์มาตรฐาน (ภาพที่ 7) เมื่อเปรียบเทียบกับงานวิจัยก่อนหน้านี้ พบว่าผลจากการศึกษาในครั้งนี้อยู่ในพิสัย

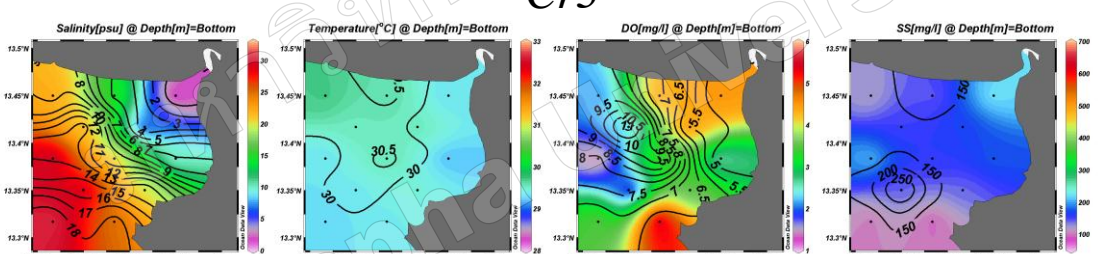
Cr1



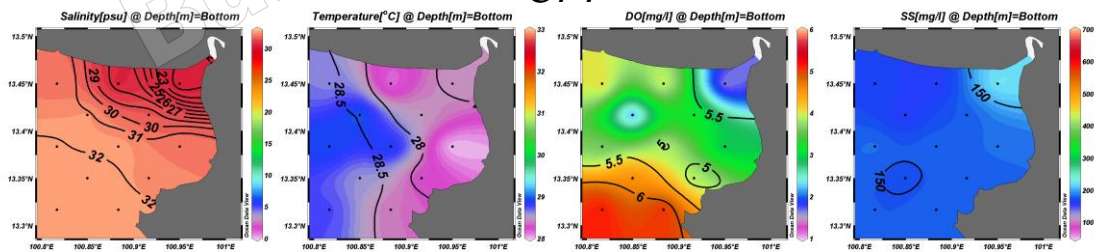
Cr2



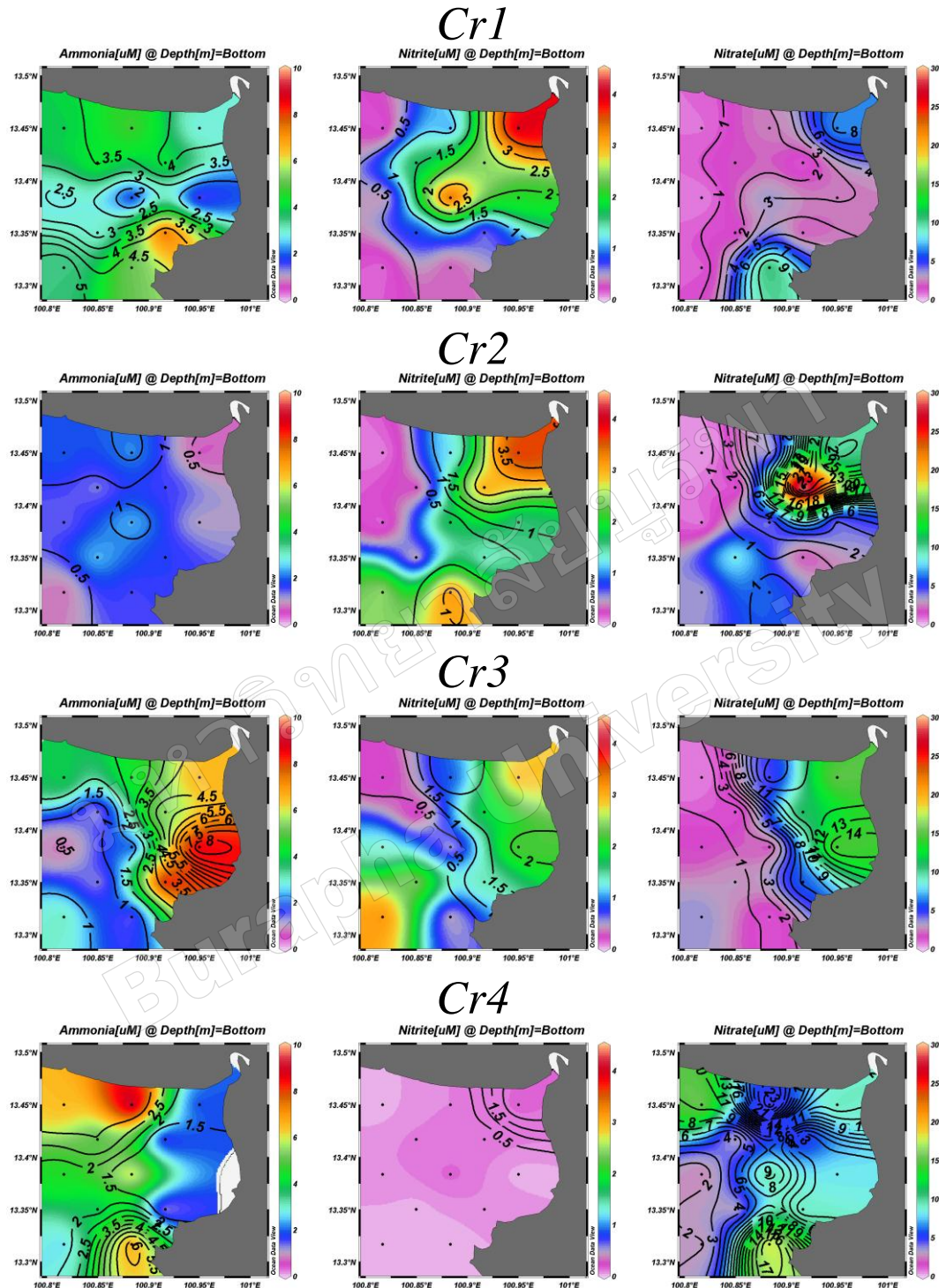
Cr3



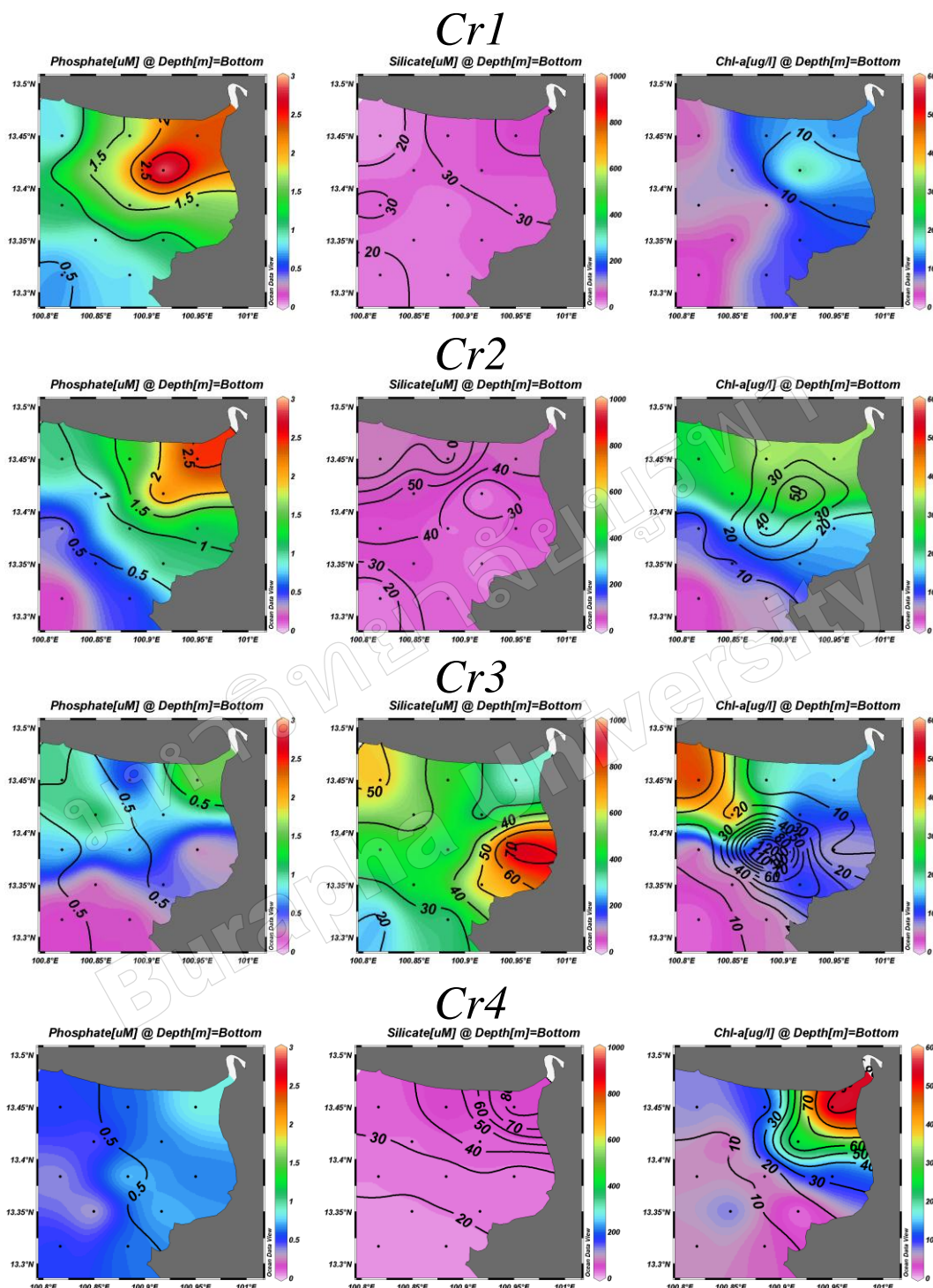
Cr4



ภาพที่ 5 การแพร่กระจายในแนวราบของความเค็ม อุณหภูมิ ออกซิเจนและลักษณะ และตะกอนแขวนลอยที่ผิวน้ำทะเล (เส้นคอนทัวร์) และที่พื้นทะเล (แรเงาสี) ในช่วงของการเก็บตัวอย่างในเดือนเมษายน (Cr1) มิถุนายน (Cr2) กันยายน (Cr3) และธันวาคม 2545 (Cr4)



ภาพที่ 6 การแพร่กระจายในแนวราบของเอมโมเนีย ไนโตรท์ และไนเตรท ที่ผิวน้ำทะเล (เส้นคอนทัวร์) และที่พื้นทะเล (แรเงาสี) ในช่วงของการเก็บตัวอย่างในเดือนเมษายน (Cr1) มิถุนายน (Cr2) กันยายน (Cr3) และธันวาคม 2545 (Cr4)



ภาพที่ 7 การแพร่กระจายในแนวราบของฟอสเฟต ชิลิกेट และคลอรอฟิลล์-อี ที่ผิวน้ำทะเล (เส้นคอนทัวร์) และที่พื้นทะเล (แรเงาสี) ในช่วงของการเก็บตัวอย่างในเดือนเมษายน (Cr1) มิถุนายน (Cr2) กันยายน (Cr3) และธันวาคม 2545 (Cr4)

ของค่าที่เคยมีการรายงานไว้ในพื้นที่การศึกษาใกล้เคียงกัน (ฉลวย มุสิกิ และคณะ, 2550; Sriwoon *et al.*, 2008; Gunbua *et al.*, 2009) การพบว่าในเตรียมมีความเข้มข้นสูงที่สถานที่ทางท้าวได้ของ พื้นที่ศึกษาใกล้กับบริเวณแหล่งแพร่และอ่างศีลามีเดื่อนเมษายน และช่วงความอาจเป็นเพราะมีแหล่งที่มาจากการคลองบางปะรุงซึ่งเป็น คลองระบายน้ำที่อยู่ในบริเวณนั้น

ค่าเฉลี่ยและค่าเบี่ยงเบนมาตรฐานของคุณภาพน้ำที่ผิวน้ำทะเล และใกล้พื้นทะเลของแต่ละเที่ยวเรือสำรวจตามตารางที่ 3 และ การเผยแพร่กระจายในแนวราบของค่าคุณภาพน้ำที่ผิวน้ำและที่พื้นทะเล ในภาพที่ 5 ถึงภาพที่ 7 แสดงถึงอัธิปผลของปฏิสัมพันธ์ระหว่าง น้ำทะเลและน้ำท่าต่อคุณภาพน้ำในพื้นที่ปากแม่น้ำบางปะกง หากใช้ความแตกต่างของความเค็มตามความลึกเป็นหลักในการ พิจารณา พบว่ามวลน้ำมีแนวโน้มของการผสมผสานกันดีในช่วง เดือนเมษายนและเดือนธันวาคม แบ่งชั้นในช่วงเดือนมิถุนายน และกันยายน โดยชั้นน้ำที่เสถียรกว่าอยู่ในช่วงเดือนกันยายน เนื่องจากความแตกต่างของค่าเฉลี่ยความเค็มระหว่างน้ำชั้นบน และน้ำชั้นล่าง ($\sim 8 \text{ psu}$) มากกว่าในช่วงเดือนมิถุนายน ($\sim 4 \text{ psu}$) ความเป็นกรด-ด่าง ออกซิเจนและลิเทียม ของแข็ง เชวนล้อย แอมโมเนียในไตรท์ ชิลิกेट และคลอรอฟิลล์-เอ มีแนวโน้มของความ แตกต่างตามความลึกตามการแยกชั้นของน้ำ โดยความเป็นกรด-ด่าง ออกซิเจนและลิเทียม และคลอรอฟิลล์-เอในน้ำชั้นบนมีค่าสูงกว่าใน น้ำชั้นล่าง ต่างจากของแข็ง เชวนล้อย แอมโมเนียในไตรท์ และ ชิลิกेट ที่ในน้ำชั้นล่างมีค่าสูงกว่าในน้ำชั้นบน

การที่คลอร์ฟิลล์-เอมีค่าสูงที่ผิวน้ำ หักที่สารอาหารส่วนใหญ่ไม่ค่อยแตกต่างตามความลึกหรือมีค่ามากที่น้ำชั้นล่าง อาจเป็น เพราะปัจจัยเรื่องแสงเพราะน้ำในบริเวณนี้มีความชุ่มมาก สังเกตจากค่าเฉลี่ยของแข็งแχวนลอยที่มีค่าสูงเกิน 100 mg/l ในทุกฤดูกาล ความเป็นกรด-ด่างและออกซิเจนละลายน้ำมีค่าสูงมากในน้ำชั้นบน เป็นผลมาจากการ施肥ร่องของแพลงก์ตอนพืช (ภาพที่ 5 และภาพที่ 7) สอดคล้องกับรายงานการตรวจคุณภาพน้ำในพื้นที่เดียวกัน (สถาบันวิทยาศาสตร์ทางทะเล, 2549) และในพื้นที่อื่น (Chen et al., 2003) ออกซิเจนละลายน้ำในน้ำชั้นล่างมีค่าต่ำมาก ($\sim 1-2 \text{ mg/l}$) ทางตอนกลางของพื้นที่บริเวณที่เกิดการ施肥ร่องของแพลงก์ตอนพืชในช่วงเดือนมิถุนายนและกันยายนเช่นเดียวกัน อาจเกิดจากการย่อยสลายชาขของแพลงก์ตอนที่เป็นผลมาจากการ施肥ร่องในบริเวณน้ำชั้นบน การที่น้ำแยกชั้นและแลกเปลี่ยนกับน้ำชั้นบนได้ยาก การย่อยสลายที่เกิดขึ้นจึงทำให้ออกซิเจนละลายน้ำในน้ำชั้นล่างมีค่าต่ำมาก ส่วนการที่ของแข็งแχวนลอยและซิลิกาในน้ำชั้นล่างมีค่าสูงกว่าน้ำชั้นบน (ภาพที่ 5 และภาพที่ 7)

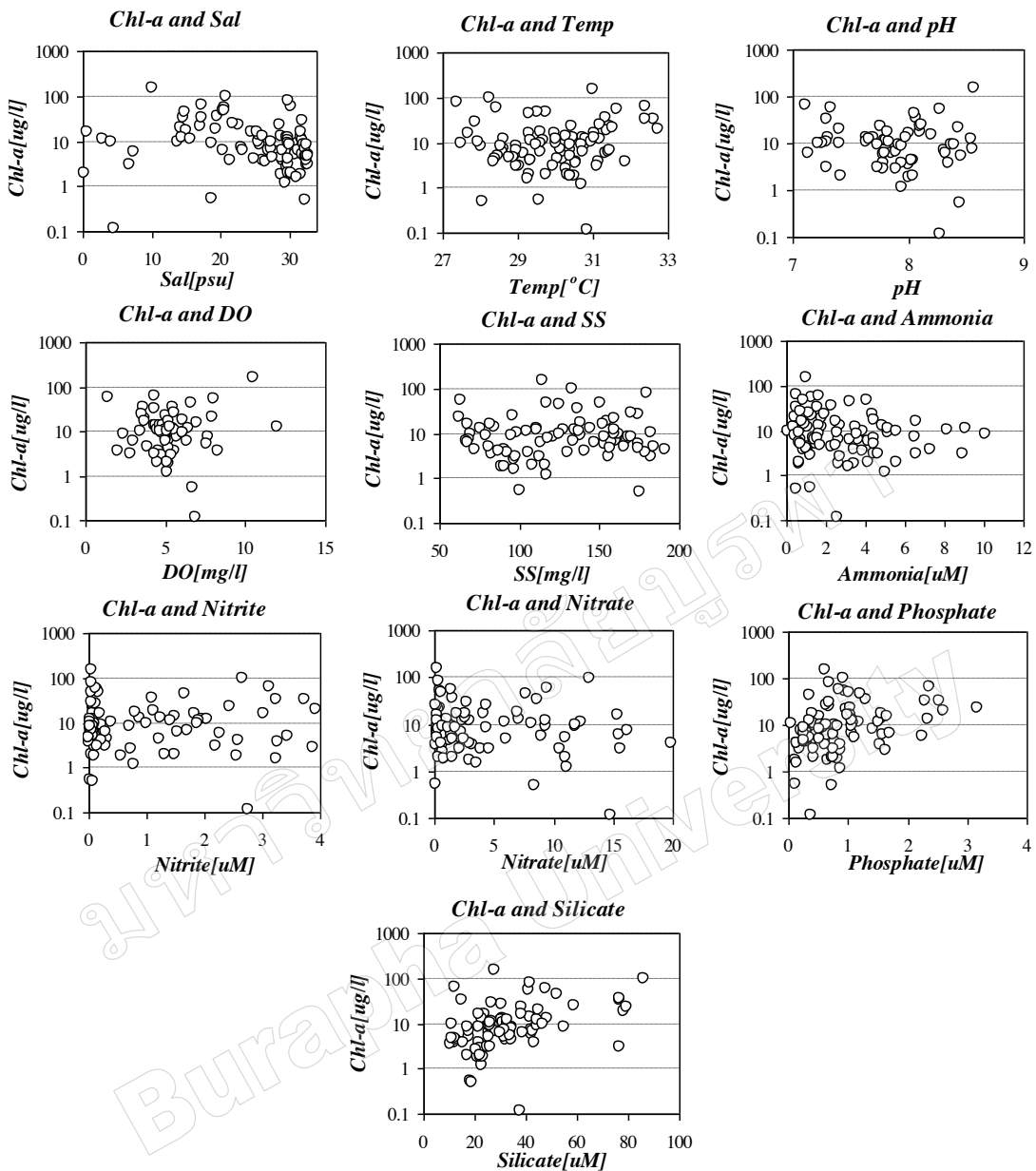
อาจเป็นผลมาจากการฟุ้งกระจายกลับสู่มวลน้ำของตะกอนที่พื้นทะเล (resuspension) ปลดปล่อยให้สารเหล่านี้ซึ่งอาจมีปริมาณมากที่พื้นทะเลให้เข้ามาสู่มวลน้ำ แต่แอนโนเนียและไนโตรที่มีค่าสูงในน้ำชั้นล่างอาจเกิดจากกระบวนการ denitrification ร่วมด้วย

ฟอสเฟตในน้ำทะเลมีค่าต่ำโดยเฉพาะในช่วงเดือนกันยายนที่พบการสะสมของแพลงก์ตอนพืช อาจเนื่องการเป็นปัจจัยจำกัดเมื่อเทียบกับปีโนโตรเจนและซิลิกาซึ่งมีปริมาณมาก ฟอสเฟตจึงถูกใช้ไปโดยแพลงก์ตอนพืชในทันทีที่เข้าสู่วัลน้ำจากแหล่งต่างๆ เช่นน้ำท่าและตะกอน ฟอสฟอรัสจากตะกอนอาจมีความสำคัญมากต่อการควบคุมการเพิ่มปริมาณของแพลงก์ตอนพืชในบริเวณนี้ เป็นเรื่องที่ควรให้ความสำคัญในการศึกษาต่อไปในอนาคต

ปฏิสัมพันธ์ระหว่างน้ำจากแม่น้ำที่เปลี่ยนแปลงตามฤดูกาล และน้ำทะเล นอกจากระส่งผลต่อการผสมผasanและการแบ่งชั้นน้ำแล้ว ยังอาจส่งผลต่อระยะเวลาพำนัก (residence time) ของน้ำจืดหรือสารต่างๆ ในเอสทูรีปاكแม่น้ำให้มีความแตกต่างกันตามฤดูกาล (Buranapratheprat & Yanagi, 2003) เป็นอีกปัจจัยหนึ่งที่อาจส่งผลต่อการสร้างของแพลงก์ตอนในพื้นที่ปริมาณคลอรอฟิลล์-เอที่สูงมากบริเวณตอนกลางของพื้นที่ในเดือนมิถุนายนและกันยายน (ภาพที่ 7) ซึ่งสอดคล้องกับการแพร่กระจายของความเค็มในช่วงเวลาเดียวกัน (ภาพที่ 5) อาจเป็นผลจากการบรรจบกันของมวลน้ำเค็มและมวลน้ำจืด (tidal front) ในช่วงเวลาดังกล่าวที่ทำให้ระยะเวลาพำนักของสารอาหารในบริเวณนั้นนานขึ้น นอกจากนี้ยังเพิ่มโอกาสต่อการปลดปล่อยสารอาหารจากตะกอนที่พื้นทะเลเข้าสู่มวลน้ำ ที่มีส่วนช่วยให้การสร้างของแพลงก์ตอนพื้นที่ในบริเวณนั้นเกิดได้ดีขึ้น อย่างไรก็ต้องมีปัจจัยอื่นๆ เข้ามาเกี่ยวข้องด้วย เช่นจากการเปลี่ยนแปลงปริมาณของสารเหล่านี้สัมพันธ์กับกระบวนการทางทางเคมีและชีววิทยานอกเหนือจากกระบวนการทางพิสิกส์ จึงจำเป็นที่จะต้องทำความเข้าใจและศึกษาในรายละเอียดต่อไปในอนาคต

สรุปผลการวิจัย

จากการตรวจคุณภาพน้ำในพื้นที่ปากแม่น้ำบางปะกง ในช่วงเดือนเมษายน มิถุนายน กันยายน และธันวาคม พ.ศ. 2545 พบว่าค่าคุณภาพน้ำด้านกายภาพยกเว้นของแข็งแขวนลอย และคุณภาพน้ำทางเคมี ได้แก่ แอมโมเนียม ในไตรท์ ฟอสเฟตและซิลิกेट มีการเปลี่ยนแปลงตามฤดูกาลอร่างมีนัยสำคัญทางสถิติ ในขณะที่ ในไตรท และคลอรอฟิลล์-เอ มีการเปลี่ยนแปลงตามฤดูกาลที่ไม่มีนัยสำคัญ โดยอิทธิพลหลักของการเปลี่ยนแปลงปริมาณสาร



ภาพที่ 8 ความสัมพันธ์ระหว่างคลอรอฟิลล์-เอ และคุณภาพน้ำต่างๆ ของตัวอย่างน้ำบริเวณปากแม่น้ำบางปะกงจากทุกเที่ยวเรือสำรวจ

ในพื้นที่มาจากการปริมาณน้ำท่า การพุ่งกระเจาภลับสู่มวลน้ำของตะกอนที่พื้นทะเล และปฏิกิริยาพันธะระหว่างน้ำทะเลและน้ำท่าจากแม่น้ำบางปะกงที่เปลี่ยนแปลงตามฤดูกาล คุณภาพน้ำส่วนใหญ่มีค่าอยู่ในระดับมาตรฐานคุณภาพน้ำและที่เคยตรวจสอบมาก่อนหน้านี้ในงานวิจัยอื่น ยกเว้นในเทrophที่มีค่าเกินมาตรฐานคุณภาพน้ำทะเลเพื่อการเพาะเลี้ยงสัตว์น้ำ จากการศึกษาความสัมพันธ์ระหว่างคลอรอฟิลล์-เอ และคุณภาพน้ำพบความสัมพันธ์ในระดับที่ต่ำ

กิตกรรมประภาก

ขอขอบคุณบิษชาติ วงศ์จำรัส คุณรัตนกรรณ์ วิภาตะกลัศ และนิสิตภาควิชาการวิชศาสตร์ ในการช่วยเก็บและวิเคราะห์ตัวอย่างน้ำ รศ.ดร.คเซนทร เฉลิมวัฒน์ และภาควิชาการวิชศาสตร์ในการคำนวณความสูงต่างๆ ในการทำวิจัย

เอกสารอ้างอิง

- กรมอุตุนิยมวิทยา. (2554). ภูมิอากาศของประเทศไทย. เข้าถึงได้จาก <http://www.tmd.go.th> วันที่สืบค้นข้อมูล 18 พฤษภาคม 2554.
- ฉลวย มุสิกะ, วันชัย วงศ์สุธรรม, อวุธ หมั่นหาผล และเวตา ทองระอา. (2550). สถานการณ์คุณภาพน้ำชายฝั่งทะเล ตะวันออก ปี 2548. *วารสารวิทยาศาสตร์บูรพา*, 12(1), 33-44.
- กรมทรัพยากรทางทะเลและชายฝั่ง. (2548). ระบบนิเวศน้ำกร่อย แม่น้ำบางปะกง. กรุงเทพฯ
- ประกาศคณะกรรมการสิ่งแวดล้อมแห่งชาติ ฉบับที่ 27 (พ.ศ. 2549) เรื่องกำหนดมาตรฐานคุณภาพน้ำทะเล. (2550, 1 กุมภาพันธ์). ราชกิจจานุเบกษา. เล่มที่ 124 ตอนที่ 11 ง. หน้า 123.
- พิชัย สว่างวงศ์ และคณะ. (2541). รายงานวิจัยโครงการวิจัยร่วม NRCT-JSPS. การศึกษาคุณสมบัติทางฟิสิกส์ เคมี และ ชีวภาพ ในบริเวณปากแม่น้ำบางปะกง 2537-2540, NRCT-JSPS.
- สถาบันวิทยาศาสตร์ทางทะเล. (2549). รายงานการวิจัยโครงการ ผึ่งระวังและการวางแผนทางป้องกันการเกิดปรากฎการณ์ ซึ่งอาจนำไปรบกวนชายฝั่งทะเล จังหวัดชลบุรี. สถาบัน วิทยาศาสตร์ทางทะเล มหาวิทยาลัยบูรพา ชลบุรี.
- สำนักงานนโยบายและแผนทรัพยากรธรรมชาติและสิ่งแวดล้อม. (2549). การบริหารจัดการนิเวศลุ่มน้ำบางปะกง. กรุงเทพฯ.
- Buranapratheprat, A. & Yanagi, T. (2003). Seasonal variations in circulation and average residence time of the Bangpakong estuary, Thailand. *La mer*, 41, 199-213.
- Buranapratheprat, A., Niemann, K.O., Yanagi, T., Matsumura, S. & Sojisuporn, P. (2009). Circulation in the upper Gulf of Thailand investigated using a three-dimensional hydrodynamic model. *Burapha Science Journal*, 14(1), 99-113.
- Chen, C., Zhu, J., Beardsley, R.C. & Franks, P.J.S. (2003). Physical-biological sources for dense algal blooms near the Changjiang River. *Geophysical Research Letters*, 30 (11), 22-1 – 22-4.
- Grasshoff, K., Kremling, K. & Ehrhardt, M. (1999). *Methods of Seawater Analysis 3rd Eds.* Weinheim: Wiley-VCH.
- Gunboa, V., Paphavasit, N. & Piumsomboon, A. (2009). Spatial and temporal variations in environmental factors in Bangpakong estuary. *Proceedings 35th Congress on Science and Technology of Thailand*, CD-ROM.
- Iribarren, M.J., Cearreta, A., Leorri, E., Gómez, J. & Viguri J. (2008). A 130 year record of pollution in the Suances estuary (southern Bay of Biscay): Implications for environmental management. *Marine Pollution Bulletin*, 56(10), 1719-1727.
- Lirdwitayaprasit, T., S. Meksumpun, S. Rungsupa & Furuya, K. (2006). Seasonal variations in cell abundance of *Noctiluca scintillans* in the coastal waters off Chonburi Province, the upper Gulf of Thailand. *Coastal Marine Science*, 30 (1), 80-84.
- Peng, X., Zhang, G., Mai, B., Min, Y. & Wang, Z. (2002). Spatial and temporal trend of sewage pollution indicated by coprostanol in Macao Estuary, southern China. *Marine Pollution Bulletin*, 45(1-12), 295-299.
- Saiz-Salinas, J. (1997). Evaluation of adverse biological effects induced by pollution in the Bilbao Estuary (Spain). *Environmental Pollution*, 96(3), 351-359.
- Schlitzer, R. (2007). *Ocean Data View*. (<http://odv.awi.de>)
- Simachaya, W. (2003). *A Decade of Water Quality Monitoring in Thailand's Four Major Rivers: The Results and the Implications for Management*. A manuscript for the 6th International Conference on the Environmental Management of Enclosed Coastal Seas" Bangkok, Thailand, November 18-21, 2003. (<http://www.pcd.go.th/download/water.cfm>)
- Sriwoon, R., Pholpunthin, P., Lirdwitayaprasit, T., Kishino, M. & Furuya, K. (2008). Population dynamics of green *Noctiluca scintillans* (dinophyceae) associated with the monsoon cycle in the upper Gulf of Thailand. *Journal of Phycological*, 44, 605-615.
- Strickland, J.D.H. & Parsons, T.R. (1972). *A Practical Handbook of Seawater Analysis*. Fishery Research Board of Canada, Ottawa.